

Caduta dei gravi nell'aria: uno studio sperimentale sull'evoluzione dell'apprendimento attraverso PI

Paco H. Talero L. ^{1,2}

¹ Universidad Central, Facultad de Ingeniería y Ciencias Básicas
Carrera 5 No 21-38, Bogotá, D.C.Colombia.

² Universidad Jorge Tadeo Lozano, Facultad Ciencias Naturales e Ingeniería
Carrera 4 No.22-61, Bogotá, D.C.Colombia.

Abstract

Nel campo della fisica educativa, le metodologie attive sono state più efficienti delle metodologie tradizionali. Ci sono due metodologie molto efficienti, PODS e PI. Nonostante il grande successo di queste metodologie, ci sono tre problemi metodologici che ne offuscano la loro efficacia: primo, il pre e pos-test non permette di conoscere che delle cose siano successe attraverso il processo di apprendimento; secondo, le risposte che gli studenti normali danno alle domande del test stanno influenzate per le loro interazioni con studenti di livello più superiore; terzo, tradizionalmente nella letteratura si mostrano studi privi di esperimenti. In questo lavoro si rapporta un esperimento sociale di apprendimento attraverso PI con 42 studenti su un piccolo concetto fisico (Caduta gravi nell'aria) in cui i processi non sono stati involucrati dai tre problemi sopra citati. Si è scoperto che l'apprendimento si è evoluto in modo più o meno lineare senza picchi, discese e interferenze che di solito compaiono nella letteratura.

Parole chiave: PI, fisica educativa, Caduta dei gravi.

Physics Education Research has shown that the active methodologies are better than traditional methodologies, the most popular are PODS and PI. However, there are three problems that blur their effectiveness: first, the pre and post-test do not allow to know what happens in the learning process; second, the answers that average - performance students give to questions of a test are influenced by the answers of the more advanced students; third, in many types of research on PI the students do not experiment. In the present work, it is exposed a research on the learning through PI with 42 students over a small physical concept (Bodies falling in air), the interaction between the students was designed to correct the aforementioned problems. It was found a linear evolution of the gain G , with high concentration in the correct model and it was not observed peaks or interference.

Keywords: PI, Physics Education Research, free fall.

1. Introduzione

Circa quaranta anni fa alcuni dipartimenti di fisica, principalmente negli Stati Uniti, si sono focalizzati sull'attenzione dell'apprendimento della fisica di base a livello universitario e hanno formato la Physics Education Research (PER) per fare una ricerca in questo campo da un punto di vista scientifico.¹⁻³ Nell'anno 2000 alcuni ricercatori trattavano già in pratica la fisica educativa come una scienza empirica applicata.²

Le ricerche della PER hanno permesso di capire, tra l'altro, che: le metodologie attive sono molto di più efficienti delle metodologie espositive tradizionali;⁴ i questionari (strumenti di indagine) su diverse tematiche sono utili per trovare problematiche di apprendimento;⁵⁻⁷ i ricercatori hanno bisogno di partire dalla scienza cognitiva per definire gli scopi e le limitazioni presenti per natura negli studenti quando imparano;^{8,9} e che, gli strumenti quantitativi per misurare l'impatto dell'istruzione ha bisogno di dare valore alla relazione tra l'insegnamento e l'apprendimento.^{4,10,11}

Eppure, negli ultimi anni, i ricercatori hanno osservato che quando si fa una ricerca con il pre e pos-test non si sa che cosa potrebbe succedere nel processo, quindi i risultati di questi tipi di ricerca potrebbero essere sbagliati. Anche l'influenza degli studenti avanzati sulle risposte degli studenti normali è stata osservata dai ricercatori, le quali, quindi, sono poco credibili in alcuni risultati di ricerca effettuati con la metodologia Peer Instruction (PI).

In questo lavoro si è studiato l'apprendimento qualitativo di un piccolo concetto della caduta di corpi nell'aria attraverso la metodologia PI, si è fatta la correzione dei due problemi precedenti e si sono proposti esperimenti diversi. L'ipotesi che è stata formulata era: se si fa un esperimento senza l'influenza di questi problemi, gli studenti avranno profitti elevate, come poi si è verificato.

Questo lavoro è così suddiviso: nella sezione 2 si presenta lo stato dell'arte del campo di ricerca; nella sezione 3 si illustra la metodologia proposta per sviluppare la ricerca; nella sezione 4 si presentano i risultati; le discussioni sono spiegate nella sezione 5 e le conclusioni sono sviluppate nella sezione 6.

2. Lo stato dell'arte

Questo lavoro è inquadrato nel campo della fisica educativa, esplora aspetti dell'evoluzione dell'apprendimento di un micro - contenuto fisico (MCF), utilizza la metodologia basata su PI e si basa su alcuni principi cognitivi di apprendimento.

2.1. Micro-contenuto fisico

Un MCF è un argomento fisico molto breve, chiaramente definito, delimitato sia nel contenuto che nella profondità, la quale dipende dalla popolazione e dal contesto generale che si vuole insegnare. Anche, un MCF è definito da un comitato esperti che conoscono la disciplina, il contesto e sono formati in pedagogica.¹¹ Un MCF si materializza attraverso un insieme di attributi concettuali denotati come $F_0, F_1, F_2, \dots, F_N$ che a sua volta sono discriminati per ogni attributo concettuale $q_0, q_1, q_2, \dots, q_m$ i quali sono

scelti uguali in numero e valore per ogni attributo concettuale.

2.2. Principi cognitivi di apprendimento

L'importanza delle neuroscienze cognitive nell'apprendimento della fisica elementare è stata sempre presente nelle ricerche,⁸ in modo approssimativo Redish e Grote la riassume attraverso sei principi generali:^{8,9}

1. Uno studente che impara un nuovo argomento deve fare un rapporto tra la nuova conoscenza e la sua precedente.
2. L'elaborazione della conoscenza dello studente dipende in gran parte dal contesto.
3. Quando uno studente ha già uno schema sbagliato installato, fare un cambiamento importante sarà molto difficile.
4. In generale gli studenti hanno diversi modi di imparare.
5. In generale, gli studenti imparano più efficacemente attraverso le interazioni con altri studenti che solo con le istruzioni del professore.
6. L'istruzione a intervalli distanziati è più efficace dell'istruzione fatta in un unico blocco di lavoro.

2.3. Istruzione tra studenti

La metodologia PI è nata dall'iniziativa del professor Eric Mazur dell'Università Harvard,^{12,13} consiste nella seguente serie di passaggi:

1. Prima di andare a lezione gli studenti hanno già letto il materiale teorico di lavoro, il quale è sviluppato attraverso una trasposizione didattica diretta precisamente a questa popolazione.
2. Il professore fa una domanda, che di solito sembra un enigma, ai suoi studenti e li invita a risponderla individualmente.
3. Il professore, l'assistente oppure il sistema di acquisizione dati raccolgono le risposte.
4. Il professore fa dei gruppi di due o tre studenti e chiede una risposta univoca alla domanda precedente.

5. Il professore, l'assistente oppure il sistema di acquisizione dati raccolgono le risposte date dalle coppie di studenti.
6. Il professore risolve il problema posto, risponde alle domande che gli studenti formulavano e dopo li invita alla riflessione. Poi si torna al punto 2.

2.4. Metriche di apprendimento

La PER ha progettato diverse metriche per quantificare l'apprendimento, le più utilizzate sono il fattore di Hake⁴ e l'indice di concentrazione di Bao.¹⁰

2.4.1. Il fattore di Hake

Il Fattore Hake è una metrica che misura l'apprendimento di un gruppo di studenti utilizzando un unico questionario come pre e post-test. Questo strumento è denotato con la lettera G , calcola il cambiamento del punteggio dello studente ed è definito come:

$$G = \frac{S_f - S_i}{1 - S_i}. \quad (1)$$

Qui S_i è il punteggio del gruppo nel pre-test e S_f , nel post-test; i due punteggi sono standardizzati all'unità. G è una misura dell'efficacia di una metodologia applicata a un corso particolare di fisica. Il risultato è stato classificato in alto, medio e basso. È alto quando $G \geq 0,7$, medio quando $0,3 \leq G < 0,7$ e basso quando $G < 0,3$.

2.4.2. L'indice di concentrazione

L'indice di concentrazione C rende conto della distribuzione delle risposte che N_e studenti hanno a una domanda con $m - 1$ opzioni sbagliate e un'unica risposta corretta. Cioè, C dice quanti studenti hanno risposto a ciascuna delle opzioni. La concentrazione è definita come

$$C = \frac{\sqrt{m}}{\sqrt{m} - 1} \left(\sqrt{\frac{\sum_{i=1}^m n_i^2}{N_e}} - \frac{1}{\sqrt{m}} \right), \quad (2)$$

dove n_i è il numero di visite alla opzione i di m . Per fare una corretta interpretazione è necessario correlare la concentrazione C con il punteggio u e definire i suoi estremi di concentrazione minimo C_{min} e massimo C_{mas} .

Le espressioni ottenute sono:

$$C_{min} = \frac{\sqrt{m}}{\sqrt{m} - 1} \left(\sqrt{\frac{(1-u)^2}{m-1} + u^2} - \frac{1}{\sqrt{m}} \right) \quad (3)$$

e

$$C_{mas} = \frac{\sqrt{m}}{\sqrt{m} - 1} \left(\sqrt{(1-u)^2 + u^2} - \frac{1}{\sqrt{m}} \right). \quad (4)$$

Nella Fig.1 sono stati mostrati in rosso e blu C_{mas} e C_{min} , rispettivamente. Queste curve definiscono le possibili zone in cui può trovarsi il risultato di una prova, dei punti fuori di questa zona sono privi di significato.

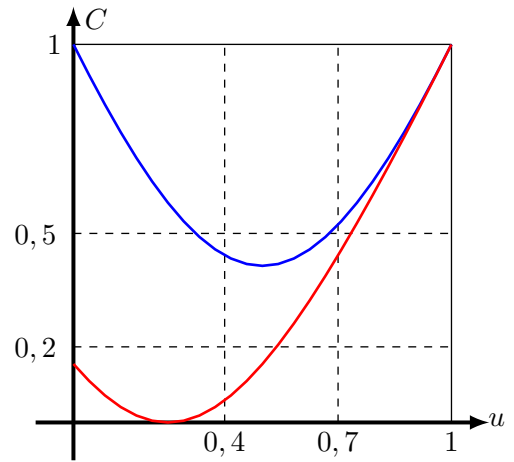


Fig 1: Concentrazione contro punteggio.

Il diagramma di concentrazione mostrato nella Fig.1 è stratificato verticalmente e orizzontalmente.

Orizzontalmente, da sinistra a destra, il punteggio u è stato aumentato. Se uno studente ha una risposta tale che $u < 0,4$ è casuale; se $0,4 \leq u < 0,7$ la risposta è media e per un $u \geq 0,7$ la risposta è capita come alta. Verticalmente la concentrazione aumenta dal basso verso l'alto, affinché se $C < 0,2$ le risposte degli studenti sono distribuiti in parti molto simili formano un istogramma quasi piatto tra tutte le opzioni, se $0,2 \leq C < 0,5$ la distribuzione delle risposte è effettuata prevalentemente su due opzioni e se $C \geq 0,5$ la distribuzione è predominante su un'opzione.

Quindi, potrebbero esserci diverse combinazioni. Per esempio potrebbe presentarsi alta concentrazione con punteggio casuale, che significa molti studenti con un'idea sbagliata molto radicata; anche potrebbe presentarsi alta concentrazione con punteggio elevato, che significa molti studenti con un'idea corretta e stabile, ecc.

3. Metodologia

In questa sezione si presentano gli aspetti metodologici dello studio: caratteristiche della popolazione, riferimento teorico della fisica, definizione del MCF, strumenti di indagine e progettazione dell'esperimento.

3.1. Popolazione

L'esperimento è stato sviluppato durante il secondo semestre dell'anno 2015 in due università di Bogotá (Colombia). Da qui in avanti queste università si chiameranno X e Y , rispettivamente. Gli studenti di X studiavano ingegneria e quelli di Y , erano formati come insegnanti di chimica.

Nell'università X l'esperimento è stato effettuato con due gruppi di un primo corso di fisica notturno, ogni gruppo aveva 13 uomini e 3 donne di età compresa tra 18 e 40 anni, la maggioranza degli studenti avevano un lavoro al giorno. Nell'università Y l'esperimento è stato effettuato con solo gruppo di un primo corso di fisica nel giorno con 8 uomini e 8 donne con un'età tra 16 e 18 anni, nessuno studente lavorava. In tutti i corsi avevano più o meno 20 studenti, ma sono stati scelti solo 16 per un corso, in base ai criteri di frequenza e interesse per l'apprendimento.

3.2. Contesto fisico: caduta gravi nell'aria

Si descrive il contesto fisico sul quale si ha fatto la trasposizione didattica e si ha definito il MCF.

Quando un corpo cade in un ambiente calmo, come l'aria in un ambiente controllato, tre forze agiscono su questo: il peso, la spinta e l'attrito con l'aria. La forza di resistenza dell'aria è meno complicata del peso e della spinta, perché la prima dipende dall'area trasversale del corpo, del quadrato

della sua velocità, della densità del mezzo e del coefficiente di trascinamento c , che a sua volta dipende dalla viscosità del mezzo b e dalla forma del corpo R_e ,^{14,15} mentre le altre due forze sono costanti.

Come problema di riferimento si è studiato il problema di un corpo sferico che sta cadendo attraverso l'aria. La caduta degli altri corpi è stata paragonata a questo particolare problema. Per risolvere questo problema il numero di Reynolds R_e è molto importante, ed è stato definito come

$$R_e = \frac{\rho_m L v}{b}, \quad (5)$$

qui ρ_m è la densità del mezzo, L la lunghezza della sezione trasversale del corpo, v la sua velocità e b il coefficiente di viscosità del mezzo. Il coefficiente di trascinamento c si ottiene da esperimenti, in particolare per una sfera nell'intervallo $0 < R_e < 2 \times 10^5$ è collegato al numero di Reynolds così

$$c = \frac{24}{R_e} + \frac{6}{1 + \sqrt{R_e}} + 0,4. \quad (6)$$

In queste condizioni un corpo sferico di raggio r avrà un'accelerazione

$$a = \left(1 - \frac{\rho_m}{\rho_c}\right) g + \frac{3\rho_m c v^2}{8\rho_c r}. \quad (7)$$

A causa della natura di c nella eqn.(6) non è possibile trovare una soluzione analitica generale della eqn.(7), nel caso particolare di corpi sferici e anche se è possibile trovare alcuna soluzione analitica si risolve numericamente per comodità¹. Tuttavia, non si deve perdere di vista che si tratta di un caso particolare e in nessun modo si risolvono tutti i casi in questo modo.

Quando due corpi sferici si fanno cadere simultaneamente dalla stessa altezza il valore dell'accelerazione del corpo ha un rapporto inverso (anche se non è proporzionale) con il tempo di caduta, cioè a maggiore intensità dell'accelerazione minore tempo di caduta. Questo si può vedere nei grafici delle Fig.2 e Fig.3, che sono state generate dal metodo numerico.

¹È stato utilizzato il metodo di Runge-Kutta quarto ordine¹⁵

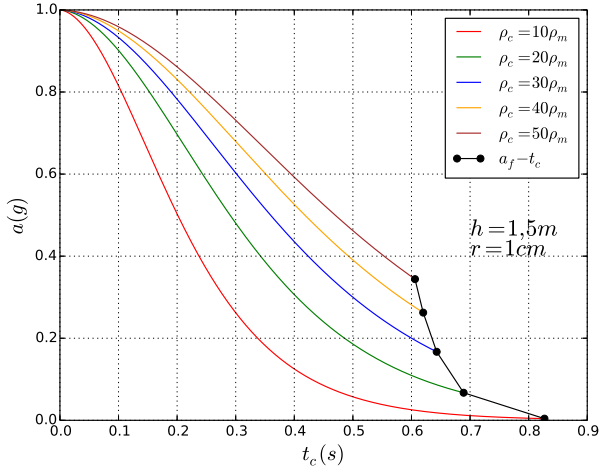


Fig 2: a vs t_c con r costante.

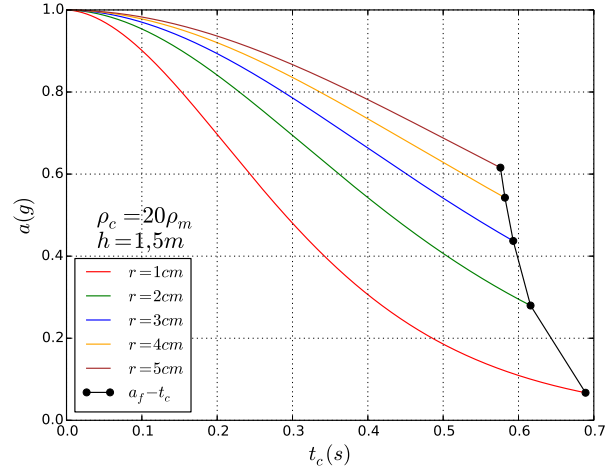


Fig 3: a vs t_c con ρ_c costante.

3.3. Definizione del MCF

Ragazzi, attenzione! Dice il professore nella sua classe. Dopo, continua: ascoltatevi, se libero dalla stessa altezza e simultaneamente questi due corpi, quale arriva prima a terra? Si è fatta ricerca sulla risposta a questa domanda in diverse popolazioni di studenti e si sono trovate due idee sbagliate: gli studenti pensano che cadrà a terra prima il corpo più pesante oppure che i corpi cadano al momento.¹⁶⁻¹⁸

La prima risposta è identificata in questo lavoro come pensiero Aristotelico e la seconda come pensiero Galileiano. Sia il pensiero Aristotelico che il Galileiano, non sono, in generale, d'accordo con i risultati sperimentali². In contrapposizione c'è la meccanica Newtoniana che spiega in modo coerente i fatti sulla caduta dei corpi, che sarà chiamata d'ora in poi, pensiero Newtoniano.

Per definire il MCF si sono definiti tre attributi concettuali, ai pensieri Aristotelici F_A , Galileiani F_G e Newtoniani F_N . A ogni attributo concettuale sono associati 4, dal più piccolo al più grande, livelli di discernimento denotati come q_0 , q_1 , q_2 e q_3 ; vedi tabella (1).

²Naturalmente i pensieri Aristotelici e Galileiani hanno molteplici sfumature, ma in questo lavoro si farà riferimento solo ai due aspetti menzionati prima: un corpo pesante impiega meno tempo per arrivare a terra che uno leggero oppure arrivano a terra in tempi uguali

	F_A	F_G	F_N
q_0			
q_1			
q_2			
q_3			

Tabella 1: Definizione del MCF

3.4. Strumento e procedura di indagine

Per realizzare l'esperimento si è scritto un piccolo testo sopra la teoria dei corpi in caduta, una guida didattica con tre esperimenti e un elenco di nove domande con risposta vera o falsa, vedi l'appendice A.

L'esperimento di apprendimento è stato strutturato nel seguente ciclo:

1. Il professore parla con i suoi studenti dell'esperimento ma non lo fa. Dopo che il professore avrà finito la sua spiegazione, farà una domanda e gli studenti avranno 5 minuti per risponderla individualmente.
2. Il professore farà gruppi di 2, 3 o 4 studenti. Dopo che gli studenti faranno l'esperimento, risponderanno la stessa domanda, ma in accordo con il gruppo. Il tempo per questa attività sarà vicino ai 10 minuti.
3. Il professore farà una breve spiegazione basata su errori comuni e inviterà alla discussione e ri-

flessione attraverso le formulazioni e soluzioni di domande.

- Poi si torna al passo 1, ma i gruppi di studenti saranno diversi dagli anteriori.

4. Risultati

I risultati delle risposte degli studenti sono stati organizzate attraverso tre digiti tra 0 a 3; il primo si riferisce al livello del pensiero Aristotelico; il secondo al livello del pensiero Galileiano e il terzo al livello del pensiero Newtoniano, vedi Fig.4. Così ogni pensiero corrisponde ai codici 030, 300, 333, rispettivamente. Se lo studente non è identificato con questo codice significa che ha un tipo de pensiero ambiguo, questa è la quarta opzione in una domanda con 4 opzioni, vedi tabella 2.

Nelle tabelle 4, 5 e 6 dell'appendice B si mostrano le risposte degli studenti. I numeri 1, 2, 3, ... rappresentano ogni studente; t_1, t_2, \dots rappresenta ciascuna delle lezioni; i numeri in ogni quadrato rappresentano le risposte degli studenti.

Opzione	Codice	Pensiero	Modo
A	333	Newtoniano	Corretto
B	300	Galileiano	Sbagliato
C	030	Aristotelico	Sbagliato
D	Ogni altro	Miscela	Sbagliato

Tabella 2: Domanda equivalente.

4.1. Analisi del profitto G_M

Per rendere conto del profitto si prende come punto di riferimento la prima volta che lo strumento è stato applicato, vale a dire t_1 , questo è stato fatto con ogni gruppo gA , gB e gC , i cui risultati sono mostrati nella tabella 3.

Grupo	ϵ_o	ϵ_f	G_M	Livello di G
gA	0,5	0,9	0,8	Elevato
gB	0,46	0,89	0,8	Elevato
gC	0,31	0,97	0,96	Elevato

Tabella 3: Profitto G_M .

L'evoluzione del profitto attraverso il tempo si mostra nella Fig.5. Qui si osserva come i gruppi gA e



Fig 4: Una studentessa fa un esperimento sulla caduta di due corpi identici in massa, volume, forma, densità e area trasversale, ma con una faccia diversa al movimento.

gB dell'università X lo hanno evoluto in forme simili, ma alla fine il gruppo gA ha avuto più apprendimento che il gruppo gB . D'altra parte, il gruppo gC dell'università Y ha avuto più apprendimento che gli altri due gruppi, soprattutto verso la fine del processo.

4.2. Analisi di concentrazione

La Fig.6 mostra i risultati della concentrazione contro il punteggio. Si osserva che tutti i gruppi hanno lo stesso punteggio e concentrazione iniziale, che corrisponde a un'alta concentrazione in un'idea errata, mentre lo stato finale è diverso per ogni gruppo. Il gruppo gA nel suo punto finale mostra basso punteggio con la presenza di due opzioni,

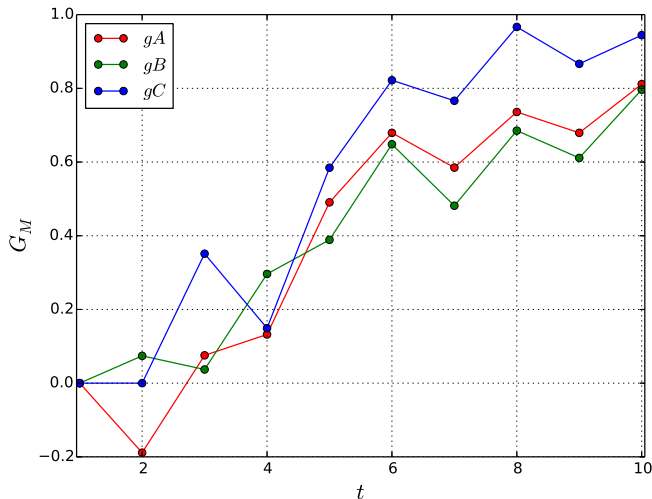


Fig 5: Curve di apprendimento. Il guadagno è stato valutato prendendo come punteggio iniziale $k = 1$ quello mostrato in to e ogni t_k permette di valutare momento per momento il punteggio.

dove la maggioranza degli studenti hanno pensiero Newtoniano e la minoranza hanno una miscela degli altri tre pensieri. Il gruppo gB ha più punteggio che il gruppo gA , ma ha meno concentrazione che il gruppo gA , qui ci sono solo pochi studenti con pensiero Newtoniano. Il gruppo gC ha ottenuto un punteggio superiore ed un'alta concentrazione, qui la maggior parte degli studenti hanno un pensiero Newtoniano.

5. Discussione

In questa investigazione si è potuto risolvere, in parte, il problema dell'influenza che gli studenti avanzati fanno sopra gli studenti medi nella metodologia PI. Questo si è fatto attraverso una rotazione in ogni interazione tra studenti in modo che non sempre si formino gli stessi gruppi di studenti. Tuttavia non è stato sempre possibile mantenere gruppi veramente diversi, si è anche trovato un apprendimento più alto e più lineare che in altre ricerche.^{19,20}

Le domande dallo strumento di inchiesta non sono tutte teoriche, hanno anche domande sperimentali, sebbene non tutte le domande hanno una spiega-

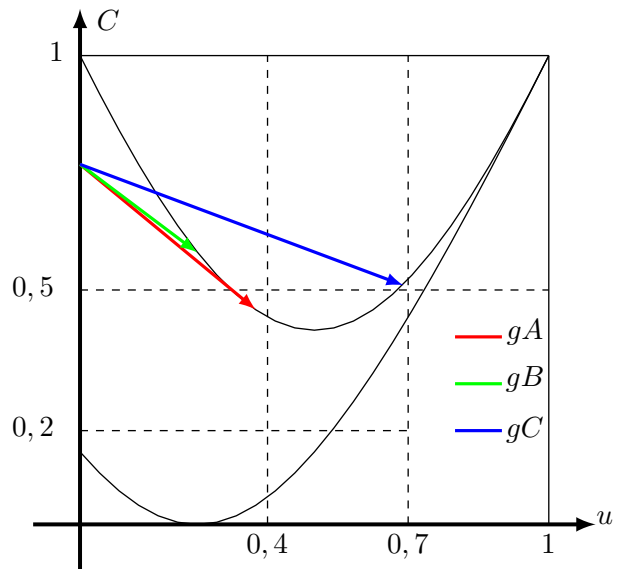


Fig 6: Diagramma di concentrazione contro prestazioni.

zione a partire dal referente teorico, si è indotta un'ipotesi tacita che permette differenziare i vari tipi di pensiero.

La linearità trovata, senza picchi e interferenze, nelle curve di profitto è dovuta alla frequenza con cui le attività sono state applicate; non c'era tempo per gli studenti di dimenticare ciò che avevano imparato. In altri studi come quelli realizzati da Eleanor C. Sayre e Andrew F. Heckler, gli studenti non solo si sono dimenticati, ma si sono confusi e per questo motivo le loro curve di profitto mostrano picchi e cali e interferenze.²⁰

6. Conclusioni

A partire da principi cognitivi ben consolidati nella letteratura è stato formulato un modello di apprendimento sperimentale di un MCF basata su PI. Tale modello è stato confrontato con l'esperienza di apprendimento in due università e tre gruppi di studenti, attraverso le curve di apprendimento si osserva un'ipotesi positiva sopra un migliore apprendimento. Il lavoro ha dimostrato che se si fa un controllo dell'influenza degli studenti di livello alto e si fanno esperimenti i risultati di apprendimento sono elevati, con $G_M \approx 0,96$.

Ringraziamenti

L'autore ringrazia alla facoltà di ingegneria e scienze di base dell'università Central per il supporto nello svolgimento di questo lavoro nell'ambito del corso di laurea magistrale in modellistica e simulazione. Ringrazia anche: ai suoi colleghi Fernanda Santana, Orlando Organista e Luis Barbosa per aver servito come comitato di esperti nella valutazione degli strumenti di indagine e per tutti i suggerimenti dati nelle discussioni che hanno arricchito tale argomento; ai professori Vito Ottati e Guillermo Avendaño per fare la revisione del manoscritto in italiano ed in inglese, rispettivamente; all'insegnante Karen Gonzalez (che era studente quando è stata condotta questa ricerca) per autorizzare la pubblicazione della sua fotografia scattata durante la ricerca.

Bibliografia

- [1] E. Redish, *Lecture Building a Science of Teaching Physics*, Am. J. Phys, 1999.
- [2] Lillian Christie McDermott, *Oersted Medal Lecture 2001: Physics Education Research The Key to Student Learning*, Am. J. Phys, 2001.
- [3] J. Benegas, *Tutoriales para Física Introductoria: Una experiencia exitosa de Aprendizaje Activo de la Física*, Lat. Am. J. Phys. Educ, 2007.
- [4] R. Hake, *Interactive-engagement versus traditional methods: A six-thousand-student survey of mechanics test data for introductory physics courses*, Am. J. Phys. 66, 64 1998.
- [5] D. Hestenes, M. Wells and G. Swackhamer, *Force concept inventory*, Phys. Teach, 1992.
- [6] R. Beichner, *Testing student interpretation of kinematics graphs*, Am J.Phys, 62 (8), 750-762, 1994.
- [7] L. Ding, R. Chabay and B., *Evaluating an electricity and magnetism assessment tool: Brief electricity and magnetism assessment*, Phys. Rev. ST Phys. Educ. Res, 2006.
- [8] E. Redish, *Implications of cognitive studies for teaching physics*, Am. J. Phys 62 796-803, 1994.
- [9] M. Grote, *The Effect of Massed Versus Spaced Practice on Retention and Problem-Solving in High School Physics*, Ohio Journal of Science: Volume 95, Issue 3, 1995.
- [10] L. Bao, E. Redish, *Concentration analysis: A quantitative assessment of student states*. Physics education research, Am J.Phys, 69 (7), 45-53, 2001.
- [11] P. Talero, C. Mora, O. Organista, L. Barbosa, *Diagrama semi-cuantitativo sobre la evolución del aprendizaje de un micro-contenido físico*, Lat. Am. J. Phys. Educ, 2013.
- [12] H. C. Crouch and E. Mazur, *Peer Instruction: Ten years of experience and results*, Am. J. Phys, 2001.
- [13] E. Mazur, *Peer Instruction: A User's Manual* Pearson- Prentice Hall, New Jersey, 1997.
- [14] P. Timmerman and P. van der Weelea, *On the rise and fall of a ball with linear or quadratic drag*, 1999.
- [15] P. Talero, *Experimentos Virtuales de Física: Mecánica*, Universidad Central, 2009.
- [16] L. Bao and T. Cai and K. Koenig and K. Fang, J. Han and J. Wang and Q. Liu and L. Ding, L. Cui and Y. Luo and Y. Wang and L. Li, N. Wu, *Learning and Scientific Reasoning*, Science, 2009.
- [17] D. Hestenes, M. Wells, G. Swackhamer, *Force concept inventory*, Phys. Teach., 30, 141-158, 1992.
- [18] P. Talero, O. Organista y L. Barbosa, *Aplicación del FCI a estudiantes de ingeniería de Bogotá: una interpretación de los resultados mediante un modelo aleatorio de dos niveles*, Lat. Am. J. Phys. Educ., 2013.
- [19] A. F. Heckler and E. C. Sayre, *What happens between pre- and post-tests: Multiple measurements of student understanding during an introductory physics course*, Am. J. Phys, 2010
- [20] Eleanor C. Sayre and Andrew F. Heckler, *Phys. Rev. ST Phys. Educ. Res.* 4, 010112 2008

Appendice A: Strumenti di indagine

Gli strumenti di indagine sono stati taggati come esperimenti $\alpha, \beta, \gamma, \delta$, e ϵ , i quali si sono presentati come segue:

*Nel seguente testo si descrivono tre esperimenti con i suoi risultati, d'accordo con loro segnare vero **V** oppure falso **F** per ciascuna delle affermazioni scritte sotto.*

A-1. Esperimenti α

Esperimento α_1

In classe il professore prende un foglio di carta pulito lo taglia in due parti leggermente disuguali, prende il più grande e fa una palla accartocciando la carta. Dopo prende in una mano la palla e nell'altra il pezzo di carta senza accartocciare. Dalla stessa altezza li lascia cadere tutte e due allo stesso tempo. Si osserva che il primo che arriva a terra è la palla.

1. Il risultato avviene perché i corpi più pesanti cadono sempre prima di quelli leggeri. **V F**
2. Il risultato è d'accordo con la legge di Galileo sulla caduta dei gravi poiché i pezzi di carta cadono con la stessa accelerazione indipendentemente dal loro peso eppure come hanno differenti dimensioni non cadono allo stesso tempo. **V F**
3. Tutti i corpi con la stessa forma cadono sempre allo stesso tempo ma come in questo esperimento i pezzi di carta non hanno la stessa forma quindi non cadono allo stesso tempo. **V F**

Esperimento α_2

Adesso il professore raccoglie i pezzi di carta dal suolo e scartoccia il pezzo accartocciato. Dopo accartoccia il pezzo liscio formando una palla, successivamente ne prende ognuno in ogni mano e dalla stessa altezza li lascia cadere. Ancora una volta, il primo che tocca terra è la palla.

1. I risultati dell'esperimento sono d'accordo con la legge di Galileo sulla caduta dei gravi poiché i pezzi di carta cadono con la stessa accelerazione indipendente dal loro peso eppure come hanno differenti dimensioni non cadono simultaneamente. **V F**
2. L'esperimento dimostra che un corpo leggero potrebbe arrivare a terra, prima di uno più pesante. **V F**
3. Siccome corpi della stessa forma cadono sempre allo stesso tempo ma in questo esperimento i pezzi di carta non hanno la stessa forma quindi non cadono allo stesso tempo. **V F**

Esperimento α_3

1. Alla fine il professore raccoglie i pezzi di carta, li accartoccia formando due palle, ne prende una in ogni mano e le lascia cadere dalla stessa altezza. Si osserva che arrivano a terra allo stesso tempo.
2. Quello che si osserva è d'accordo con la legge di Galileo sulla caduta dei gravi. **V F**
3. D'accordo con l'esperimento è possibile che due corpi con peso diverso cadano allo stesso tempo. **V F**
4. Siccome corpi con la stessa forma cadono sempre allo stesso tempo e in questo esperimento i pezzi di carta hanno la stessa forma, cadono allo stesso tempo. **V F**

A-2. Esperimenti β

Esperimento β_1

Il professore prende con una mano una moneta e con l'altra un pezzettino di carta più piccolo di essa. Li lascia cadere da un'altezza di 50cm . Si osserva che cade prima la moneta.

1. Il risultato avviene perché i corpi più pesanti cadono sempre prima di quelli leggeri. **V F**
2. Si trovano questi risultati dato che corpi di diversa forma non cadono mai allo stesso tempo. Questo soltanto succederebbe nel caso in cui i corpi cadessero nel vuoto così come afferma la legge di Galileo sulla caduta dei gravi. **V F**
3. Il risultato si conferma giacché corpi di forma diversa non cadono mai simultaneamente. **V F**

Esperimento β_2

Adesso il professore prende il pezzettino di carta e lo mette sopra la moneta, li lascia cadere da un'altezza di 50cm . Si osserva che non si staccano prima di arrivare a terra.

1. Il risultato è d'accordo con la legge di Galileo poiché tutti i corpi cadono allo stesso tempo indipendentemente dal loro peso. **V F**
2. Il risultato era da aspettarselo dato che i corpi con forma diversa non cadono mai simultaneamente ma come sono attaccati si può capire che sono un solo corpo e per questo cadono allo stesso tempo. **V F**
3. Il risultato dimostra che due corpi con peso molto diverso potrebbero cadere allo stesso tempo. **V F**

Esperimento β_3

Alla fine il professore prende la moneta e la mette sotto il pezzettino di carta, li lascia cadere da 1m di altezza. Si osserva che subito si staccano e la moneta arriva prima a terra.

1. Questo succede perché corpi di diversa forma non cadono mai allo stesso tempo. **V F**
2. Questo dimostra che in alcuni casi un corpo pesante può cadere prima di uno più leggero. **V F**
3. L'esperimento non si può spiegare con la legge di Galileo sulla caduta dei gravi poiché solo si usa quando l'aria non influisce notevolmente nella loro accelerazione. **V F**

A-4. Esperimenti γ

Esperimento γ_1

Il professore usa due palloncini identici, un filo e una biglia. Prima di tutto gonfia i palloncini uno più grande dell'altro, ne prende uno in ogni mano e li lascia cadere dalla stessa altezza. Arriva a terra prima il più piccolo.

1. Siccome i palloncini non hanno le stesse dimensioni non cadono allo stesso tempo, altrimenti cadrebbero simultaneamente. **V F**
2. Questo dimostra che in alcuni casi un corpo leggero può cadere prima di uno più pesante. **V F**
3. Nella legge di Galileo sulla caduta dei gravi tutti i corpi indipendentemente dal loro peso cadono con la stessa velocità, dato che i palloncini non cadono al contempo significa che hanno diverso peso. **V F**

Esperimento γ_2

Ora il professore mette la biglia di vetro in uno dei palloncini, li lascia cadere dalla stessa altezza e osserva che cade prima il palloncino senza biglia.

1. Per ottenere questo risultato è necessario che i palloncini abbiano la stessa forma e le stesse dimensioni poiché tutti i corpi che hanno queste caratteristiche cadono allo stesso tempo. **V F**
2. Se il palloncino con la biglia si gonfia di più è possibile che succeda questo giacché il corpo più leggero può cadere prima. **V F**
3. D'accordo con Galileo tutti i corpi cadono allo stesso tempo indipendentemente dal loro peso quando non c'è l'aria ma come questo non è il caso, cade prima il più grande. **V F**

Esperimento γ_3

Adesso il professore prende i palloncini, ne gonfia uno più dell'altro e li lega con un filo molto leggero, li lascia cadere simultaneamente dalla stessa altezza. Dopo domanda cosa succederà.

1. Dovuto alla legge di Galileo sulla caduta dei gravi i palloncini cadono lentamente e il filo tra loro non si allunga. **V F**
2. Siccome i palloncini hanno la stessa forma ma dimensioni diverse, il palloncino più grande trascina a quello più piccolo e si estende il filo completamente. **V F**
3. Dato che l'aria influisce di più sul palloncino più pesante, il palloncino leggero lo trascina ed estende il filo completamente. **V F**

A-3. Esperimenti δ

Esperimento δ_1

In questa occasione il professore prende una sfera di polistirolo e la taglia a metà, ne prende una in ogni mano e le lascia cadere dalla stessa altezza con la parte curva di fronte al suolo. Si osserva che le sfere toccano terra allo stesso tempo.

1. Il risultato è d'accordo con la legge di Galileo dato che i corpi cadono simultaneamente indipendentemente dal loro peso e il mezzo in cui cadono. **V F**
2. Il risultato dell'esperimento è d'accordo con la legge di Galileo sulla caduta dei gravi la quale dice che corpi della stessa forma, peso e dimensioni cadono sempre allo stesso tempo. **V F**
3. Il risultato era di aspettarselo giacché si sa che l'unica maniera nella quale due corpi cadono al contempo in presenza dell'aria è che abbiano lo stesso peso. **V F**

Esperimento δ_2

Adesso il professore lascia cadere della stessa altezza e simultaneamente le sfere, ma questa volta una con la parte curva di fronte al suolo e l'altra con la parte piana nella parte opposta. Arriva prima la sfera che si lascia cadere con la parte curva.

1. La legge di Galileo sulla caduta dei gravi afferma che senza l'aria tutti i corpi cadono con la stessa accelerazione indipendente dal loro peso, visto che c'è l'aria questa legge non si applica e per tanto le sfere non cadono allo stesso tempo. **V F**

2. L'esperimento dimostra che due corpi con la stessa forma, le stesse dimensioni e lo stesso peso possono non cadere allo stesso tempo. **V F**
3. L'esperimento dimostra che due corpi dello stesso peso non necessariamente arrivano a terra allo stesso tempo. **V F**

Esperimento δ_3

Alla fine il professore prende una sfera e mette alcune monete nella parte piana. Lascia cadere la sfera senza monete con la parte curva di fronte al suolo mentre la sfera con le monete la lascia cadere con la parte piana di fronte al suolo dalla stessa altezza. Cade prima la sfera con le monete.

1. L'esperimento dimostra che, sempre che due corpi si lasciano cadere allo stesso tempo, arriva a terra prima il più pesante. **V F**
2. Il risultato è d'accordo con la legge di Galileo sulla caduta dei gravi giacché i corpi più pesanti arrivano a terra prima per natura, e siccome la sfera con le monete pesa di più, questo soddisfa la legge. **V F**
3. L'esperimento dimostra che, due corpi con la stessa forma e le stesse dimensioni ma con diverso peso non cadono mai contemporaneamente. **V F**

A-5. Esperimenti ϵ

Esperimento ϵ_1

Per questo esperimento il professore utilizza una sfera di polistirolo e una biglia, li lascia cadere da 15cm di altezza. Si osserva che cadono allo stesso istante.

1. L'esperimento dimostra che due corpi di peso diverso possono arrivare a terra simultaneamente. **V F**
2. Il risultato è d'accordo con la legge di Galileo sulla caduta dei gravi dato che quando i corpi cadono hanno la stessa accelerazione senza importare il loro peso, per questo arrivano a terra al contempo. **V F**
3. L'esperimento dimostra che due corpi con la stessa forma cadono sempre contemporaneamente. **V F**

Esperimento ϵ_2

Adesso il professore lascia cadere allo stesso tempo la sfera e la biglia da una altezza di 2,5m approssimativamente dal tetto dell'aula. Si osserva che la biglia arriva a terra prima.

1. Il risultato di questo esperimento non si può spiegare con la legge di Galileo poiché l'aria influisce in modo significativo sull'accelerazione della sfera. **V F**
2. L'esperimento dimostra che secondo sia l'altezza dalla quale si lasciano cadere i corpi possono arrivare a terra al contempo oppure no. Inoltre si può inferire che questo fatto fisico è indipendente dal peso di ogni corpo. **V F**
3. L'esperimento dimostra che è possibile che corpi della stessa forma non cadano simultaneamente. **V F**

Esperimento ϵ_3

Infine, il professore lascia cadere simultaneamente la biglia e la sfera ma ognuna da una altezza diversa. Si osserva che arrivano a terra allo stesso tempo.

1. Questo risultato è possibile se si lascia cadere la biglia da una maggior altezza poiché tutti i corpi pesanti arrivano a terra prima di quelli leggeri. **V F**
2. Questo risultato è possibile se si lascia cadere la biglia da una maggior altezza dato che secondo la legge di Galileo sulla caduta dei gravi tutti i corpi indipendentemente dal mezzo cadono allo stesso tempo. **V F**
3. Questo risultato è possibile se si lascia cadere la biglia da una maggior altezza perché così avrà una maggior accelerazione senza importare che abbiano la stessa forma. **V F**

Appendice B: Risultati sperimentali

	t_1	t_2	t_3	t_4	t_5	t_6	t_7	t_8	t_9	t_{10}
1	111	300	213	212	322	332	231	333	233	333
2	211	210	121	211	211	332	232	332	233	333
3	122	222	222	332	222	332	332	332	331	332
4	303	200	212	211	332	332	332	332	332	333
5	200	300	211	212	332	332	232	332	321	332
6	131	210	201	211	323	332	233	332	332	333
7	203	200	111	211	222	321	332	123	321	331
8	211	300	212	221	221	321	321	223	333	333
9	121	100	121	212	332	332	311	333	331	331
10	300	300	311	211	332	332	332	223	333	333
11	020	100	220	211	22	112	111	123	233	331
12	202	222	111	211	12	332	332	332	332	332
13	213	210	210	211	233	332	332	332	231	331
14	300	300	123	212	332	332	231	332	231	332
15	131	102	122	221	222	332	332	333	323	323
16	322	323	332	332	332	332	333	223	322	332

Tabella 4: Risultati sperimentali dei gruppo A.

	t_1	t_2	t_3	t_4	t_5	t_6	t_7	t_8	t_9	t_{10}
1	0	0	200	223	23	332	322	333	322	333
2	300	300	212	122	333	333	231	231	332	332
3	223	303	121	233	101	333	231	332	330	331
4	0	0	121	233	212	332	231	231	333	331
5	300	300	222	233	233	323	323	232	321	332
6	313	312	320	212	302	321	121	232	333	332
7	313	323	223	223	332	332	331	331	332	333
8	323	323	213	223	211	321	322	333	333	333
9	120	303	221	122	332	332	332	232	232	332
10	330	300	211	111	323	222	331	232	323	332
11	10	323	211	212	322	332	232	331	233	333
12	200	300	121	111	121	222	221	332	323	322
13	301	312	20	223	221	332	322	333	332	332
14	313	300	123	13	212	102	202	232	123	332
15	103	303	101	212	213	323	221	231	210	331
16	302	300	112	212	233	332	133	332	231	332

Tabella 5: Risultati sperimentali dei gruppo B.

	t_1	t_2	t_3	t_4	t_5	t_6	t_7	t_8	t_9	t_{10}
1	203	300	213	212	0	332	332	332	322	333
2	332	130	0	0	221	332	322	333	333	333
3	0	0	101	201	332	332	332	332	323	333
4	202	203	222	223	323	332	333	333	333	333
5	102	203	222	222	332	332	232	333	332	332
6	0	0	0	212	221	332	331	333	313	333
7	300	300	111	212	120	332	322	333	333	333
8	110	200	211	212	321	332	131	333	331	332
9	110	200	203	212	333	332	232	333	333	333
10	300	100	213	212	322	332	333	333	333	333
11	211	303	232	223	232	332	322	333	332	332
12	1	303	222	212	332	332	332	333	331	332
13	120	100	213	212	333	332	333	333	333	332
14	31	130	112	223	122	332	332	333	333	333
15	20	200	223	201	312	332	333	333	333	333
16	0	0	331	201	213	332	332	332	332	333

Tabella 6: Risultati sperimentali dei gruppo C .